



## عدم قطعیت شبکه عصبی مصنوعی در تخمین تبخیر روزانه (مطالعه موردی: ایستگاه‌های رشت و منجبل<sup>۳</sup>)

**سید مصطفی بی آزار<sup>۱</sup>, محمدعلی قربانی<sup>۲</sup> و کاکا شاهدی<sup>۳</sup>**

(seyedmostafa.b@gmail.com)

- ۱- دانشجوی کارشناسی ارشد، مهندسی منابع آب، دانشگاه تبریز، (نویسنده مسؤول: دانشیار، گروه مهندسی آب دانشگاه تبریز)
- ۲- دانشیار، گروه مهندسی آب دانشگاه تبریز
- ۳- دانشیار، گروه آبخیزداری دانشگاه علوم کشاورزی و منابع طبیعی ساری

تاریخ دریافت: ۹۵/۷/۲۷ تاریخ پذیرش: ۹۶/۲/۱۳

صفحه: ۱ تا ۱۲

### چکیده

در این تحقیق کاربرد شبکه عصبی پرسپترون چندلایه (MLP) برای پیش‌بینی تبخیر روزانه در دو ایستگاه سینوپتیک رشت و منجبل واقع در استان گیلان در شمال ایران بررسی گردیده است. ابتدا با استفاده از آزمون گاما مهمنه ترین ترکیب از پارامترهای هواشناسی برای هر دو ایستگاه شناسایی و مدل‌سازی برآمد. نتایج مدل شبکه عصبی مصنوعی - آزمون گاما (ANN-GT) با استفاده از معیارهای ارزیابی مدل همچون میانگین مربعات خطأ (RMSE) ضریب همبستگی (CC) و ضریب ناش-ساتکلیف (NS) ارزیابی شده است. نتایج نشان داد که مدل (ANN-GT) برای ایستگاه رشت با ضریب همبستگی ۰/۸۶، مجدول میانگین مربعات خطأ ۰/۹۵، ضریب ناش-ساتکلیف ۰/۷۴ و ایستگاه منجبل با ضریب همبستگی ۰/۹۴ ضریب میانگین مربعات خطأ ۰/۸۹، ضریب ناش-ساتکلیف ۰/۸۹، دارای عملکرد قابل قبولی در پیش‌بینی تبخیر روزانه می‌باشد. برای بررسی عدم قطعیت، درصدی از داده‌های مشاهده شده که در محدوده باند پیش‌بینی عدم قطعیت ۹۵ درصد (95PPU) قرار گرفته‌اند (P-factor) و عرض متوسط باند (d-factor) برای مدل، مدنظر قرار داده شد. بنابر نتایج عدم قطعیت، عرض متوسط باند عدم قطعیت (d-factor) برای ایستگاه رشت (۰/۳۰) و برای منجبل (۰/۳۳) براورد شد. این امر حاکی از عدم قطعیت پایین مدل شبکه عصبی مصنوعی - آزمون گاما (ANN-GT) در پیش‌بینی تبخیر روزانه برای هر دو ایستگاه می‌باشد. همچنین درصد داده‌های مشاهداتی در باند (95PPU) برای رشت ۲۵ و برای منجبل ۴۵ درصد به دست آمد. دلیل پایین بودن این مقادیر را می‌توان، وجود عدم قطعیت‌های کوچک در پارامترها ذکر کرد.

**واژه‌های کلیدی:** آزمون گاما، تبخیر روزانه، شبکه عصبی مصنوعی، گیلان، عدم قطعیت

### مقدمه

تبخیر-تعرق لایسیمتری استفاده کردند. نتایج را با دو مدل شبکه عصبی مصنوعی، سیستم استنتاج فازی-عصبی تطبیقی<sup>۱</sup> و داده‌های لایسیمتری مقایسه نمودند. نتایج بیانگر عملکرد خوب هر دو مدل شبکه عصبی مصنوعی و ماشین بردار پشتیبان با کرنل‌های مختلف بوده است. تحلیل عدم قطعیت در پژوهش ایشان نشان داد که مدل حداقل مربعات ماشین بردار پشتیبان عدم قطعیت پایین‌تری نسبت به مدل‌های دیگر دارد. نوری و همکاران<sup>(۱۹)</sup> عدم قطعیت شبکه عصبی مصنوعی و سیستم استنتاجی فازی-عصبی تطبیقی را برای پیش‌بینی روزانه منوکسید کردن در تهران مورد بررسی قرار دادند. آنها برای انتخاب ترکیب مناسب، برای ورودی شبکه عصبی از آزمون گاما و انتخاب پیشرو استفاده کردند. نتایج نشان داد که انتخاب پیشرو برای هر دو مدل، نتایج بهتری دارد و همچنین مدل شبکه عصبی مصنوعی مبتنی بر انتخاب پیشرو دارای عدم قطعیت پایین‌تری نسبت به مدل‌های دیگر می‌باشد. گویال و همکاران<sup>(۲۰)</sup> در مطالعه‌ای توافقی شبکه عصبی مصنوعی، حداقل مربعات رگرسیون بردار پشتیبان، منطق فازی<sup>۲</sup> و سیستم استنتاجی فازی-عصبی تطبیقی را در تخمین تبخیر روزانه مورد ارزیابی قرار دادند. این مطالعه در آب و هوای نیمه گرمسیری در کارسو هندوستان انجام شد. آنها برای بدست آوردن نتایج بهتر و کم شدن میزان خطأ، از آزمون گاما برای انتخاب ترکیب بهینه استفاده کردند. بر اساس مقایسه‌های انجام شده، منطق فازی و حداقل مربعات رگرسیون بردار پشتیبان در برآورد تبخیر روزانه با توجه به داده‌های در در

تبخیر یک جز اصلی در چرخه هیدرولوژیکی در نظر گرفته می‌شود و نقش مهم و کاربردی در مدیریت منابع آب و مطالعات زیست محیطی دارد. پیچیدگی سیستم‌های هیدرولوژیکی از نظر تعیین تمام پارامترهای دخیل و نقش اطلاعات آماری، امکان مدل‌سازی کامل سیستم‌های هیدرولوژیکی را غیرممکن می‌سازد<sup>(۲۱)</sup>. در چنین شرایطی استفاده از مدل‌سازی سیستمی که مبتنی بر روابط ریاضی باشد، مورد توجه قرار می‌گیرد<sup>(۱۵)</sup>. همچنین مسایل مرتبط با طبیعت همواره شامل دامنه‌ای گسترده از متغیرها و پارامترهای نامعلوم و تصادفی هستند. معمولاً در برآورد و اندازه‌گیری این نوع متغیرها خطاهای زیادی وجود دارد که باعث ایجاد عدم اطمینان در نتایج تحقیقات می‌شوند. بنابراین استفاده از معیاری کمی که برای تفسیر و تحلیل مقدار صحیح قطعیت این مسایل می‌تواند به درک بهتر و قضایت شبکه کمک کند فرخ‌نیا و مرادی<sup>(۸)</sup> در تحقیقی عدم قطعیت شبکه عصبی مصنوعی و مدل نروفازی<sup>۳</sup> در پیش‌بینی جریان رودخانه صوفی‌چای را مورد بررسی قرار دادند. نتایج نشان داد که مدل نروفازی از دقت بالاتر و عدم قطعیت پایین‌تری در پیش‌بینی برخوردار است. همچنین سیفی و همکاران<sup>(۲۲)</sup> تحقیقی دیگری را در زمینه معرفی و کاربرد حداقل مربعات ماشین بردار پشتیبان<sup>۳</sup> در برآورد تبخیر-تعرق مرجع در حوضه شهر کرمان انجام دادند. ایشان از روش حداقل مربعات ماشین بردار پشتیبان مبتنی بر آزمون گاما<sup>۴</sup> با کرنل شبکه عصبی تابع پایه شعاعی، خطی و چندجمله‌ای برای محاسبه

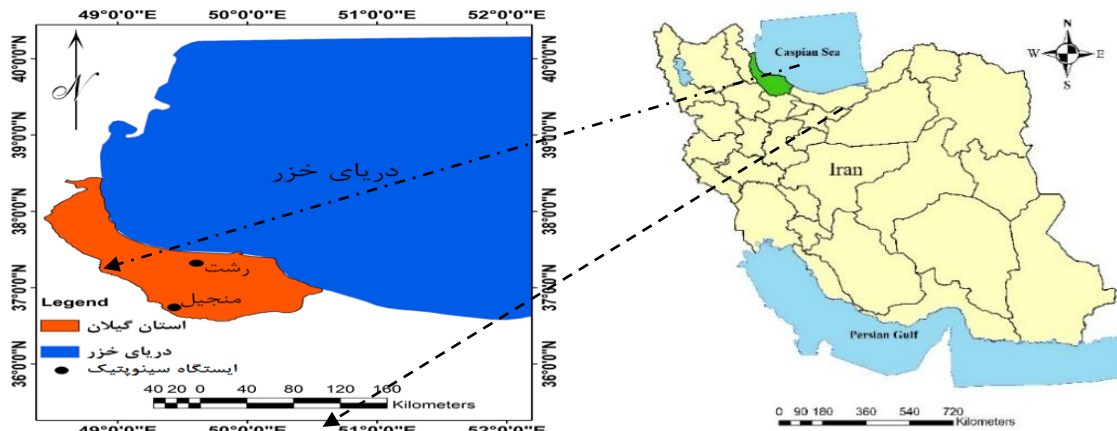
گرفته است و از شمال به دریای خزر، از شرق به استان مازندران، از جنوب به رشته کوه‌های البرز و استان‌های زنجان و قزوین و از غرب به استان اردبیل محدود می‌باشد. توزیع ناهمانگ نزولات جوی و حجم جریانات سطحی در طول سال و از طرفی نقش آب در کشاورزی منطقه خصوصاً تولید محصول استراتژی برنج ضرورت برسی و مطالعه سیستماتیک منابع آب اعم از سطحی و زیرزمینی را ایجاب نموده است. متوسط بارندگی استان گیلان ۱۱۰۰ میلیمتر و میانگین حجم بارش ۱۵۰۲۷ میلیون مترمکعب می‌باشد که از حجم فوق میزان ۷۸۸۷ میلیون مترمکعب جز منابع غیرقابل دسترس (تبخیر و تعرق) و حجمی معادل ۷۱۴۰ میلیون مترمکعب قابل دسترس و تجدیدپذیر می‌باشد. در این مطالعه از داده‌های دو ایستگاه سینوپتیک منجیل و رشت (شکل ۱) استفاده شده است. دوره آماری داده‌ها ۱۳۸۳ تا ۱۳۹۴ برای ایستگاه رشت و ۱۳۸۳ تا ۱۳۹۳ برای ایستگاه منجیل می‌باشد. داده‌های اخذ شده شامل تبخیر، سرعت باد در ارتفاع دو متری، دما (حداقل، حداکثر و متوسط)، رطوبت (حداقل، حداکثر و متوسط)، ساعت آفتابی و بارندگی بوده است. جدول ۱ خصوصیات آماری داده‌های دو ایستگاه سینوپتیک مورد مطالعه را نشان می‌دهد. در این پژوهش از ۴۰۶۷ رکورد ثبت شده برای ایستگاه رشت و ۳۶۵۲ رکورد ثبت شده برای ایستگاه منجیل استفاده شده است. از این تعداد داده، ۸۰ درصد برای آموزش و ۲۰ درصد برای صحت‌سنجی مدل استفاده شده است.

دسترس موفق‌تر دیده شدند. قربانی و همکاران (۱۰) در پژوهشی عملکرد شبکه عصبی مصنوعی تابع پایه شعاعی و پرسپیترون چندلایه<sup>۱</sup> را با مشین بردار پشتیبان بر روی جریان رودخانه مقایسه کردند. آنها عملکرد این مدل‌ها را در ایستگاه‌های هیدرومتری صفاخانه، سنته و پولانیان در زرینه رود مورد ارزیابی قرار دادند. نتایج نشان دهنده عملکرد بهتر شبکه عصبی پرسپیترون چندلایه و تابع پایه شعاعی نسبت به مدل مشین بردار پشتیبان بوده است. کیشی و همکاران (۱۵) برای مدل سازی تبخیر روزانه از روش‌های اثر متقابل آشکارساز کای اسکور خودکار، شبکه عصبی مصنوعی، طبقه‌بندی<sup>۲</sup> و رگرسیون درختی<sup>۳</sup> در آنکارا و پلاتی در ترکیه استفاده کردند. نتایج نشان دهنده کارایی بهتر شبکه عصبی نسبت به سایر مدل‌ها بوده است. براساس برسی به عمل آمده توسط مولفین تحقیقی در خصوص تخمین عدم قطعیت مدل‌های هوشمند جهت برآورد تبخیر با روش به کار رفته در این تحقیق انجام نشده و از آن جهت این امر نوآوری تحقیق در این پژوهش سعی شده است عدم قطعیت شبکه عصبی مصنوعی همراه با پیش‌پردازش داده‌ها در تخمین تبخیر روزانه در دو ایستگاه رشت و منجیل مورد ارزیابی قرار گیرد.

## مواد و روش‌ها

### داده و منطقه مورد مطالعه

استان گیلان به مرکزیت رشت در شمال کشور قرار



شکل ۱- موقعیت ایستگاه‌های سینوپتیک مورد مطالعه  
Figure 1. The study area Location

1- Multilayer Perceptron  
3- Classification

2- Chi-Squared Automatic Interaction Detector (CHAID)  
4- Regression Tree

جدول ۱- خصوصیات آماری مقادیر داده‌ها در بازه زمانی ۱۳۹۴-۱۳۹۳-۱۳۸۳ برای ایستگاه رشت و برای ایستگاه منجیل در بازه زمانی ۲۰۰۵-۲۰۱۶

Table 1. The statistical properties of the data values for period of 2005-2016 on Rasht station and 2005-2014 for the Manjil

ایستگاه	متغیرها	ضریب تغییرات	انحراف معیار	میانگین	حداکثر	شاخص‌ها
	تبخیر (mm/day)	۰/۷۹	۱/۹	۲/۴۱	۰	۱۱/۴۰
	تابش خورشیدی (hr)	۰/۸۸	۴/۲	۴/۸۱	۰	۱۳/۴۰
	سرعت باد (m/sec)	۰/۴۳	۱/۸	۴/۲۸	۰	۲۰
	بارندگی (mm)	۳/۱۴	۱۰/۹	۳/۴۷	۰	۱۴۵/۷۰
رشت	رطوبت نسبی متوسط (%)	۰/۱۰	۹/۸	۱۰۰	۱۶	۱۰۰
	رطوبت نسبی حداکثر (%)	۰/۲۶	۱۷/۰۲	۶۵/۰۲	۷	۱۰۰
	رطوبت نسبی حداکثر (%)	۰/۰۵	۵/۱۸	۹۶/۱۵	۲۰	۱۰۰
	دما متوسط (°C)	۰/۴۶	۷/۷۰	۱۶/۷۳	-۵/۲	۳۲/۰۵
	دما حداکثر (°C)	۰/۶۰	۷/۴۶	۱۲/۴۹	-۱۲/۸	۲۷/۶۰
	دما حداکثر (°C)	۰/۴۰	۸/۴۴	۲۰/۹۶	-۱/۴	۳۸
	تبخیر (mm/day)	۰/۷۳	۴/۸۲	۶/۶۴	۰	۲۱/۹۰
	ساعت آفتابی (hr)	۰/۴۷	۳/۵۷	۷/۵۸	۰	۱۳
	سرعت باد (m/sec)	۰/۴۶	۵/۲۹	۱۱/۴۷	۰	۳۳
	بارندگی (mm)	۴/۰۸	۲/۴۹	۰/۶۱	۰	۳۷/۵۹
	رطوبت نسبی متوسط (%)	۰/۱۹	۱۲/۰۳	۶۱/۸۳	۱۰	۱۰۰
منجیل	رطوبت نسبی حداکثر (%)	۰/۳۵	۱۵/۲۲	۴۲/۹۹	۲	۹۳
	رطوبت نسبی حداکثر (%)	۰/۱۵	۱۱/۷۰	۷۹/۸۸	۱۸	۱۰۰
	دما متوسط (°C)	۰/۴۵	۸/۱۵	۱۸/۰۲	-۲/۵	۳۵/۲۰
	دما حداکثر (°C)	۰/۶۲	۸/۱۰	۱۳	-۶/۸	۲۹/۱۹
	دما حداکثر (°C)	۰/۳۸	۸/۶۸	۲۳/۰۳	-۱/۶	۴۴/۸۰

$f(x)$  قادر به توجیه آن نیست را نشان می‌دهد. برای بردار  $x_i$  مجموعه  $[k \leq p] N[i]$  به نام مجموعه نزدیکترین همسایگی است. پایه و اساس آزمون گاما بر مبنای مجموعه  $N[i, k]$  می‌باشد.  $X_{N[i, k]}$  به عنوان  $k$  امین نزدیکترین همسایگی‌ها برای بردار مشاهداتی ورودی  $x_i$  تعریف شده به طوری که  $(1 \leq k \leq p)$  و  $(1 \leq i \leq M)$  می‌باشد.  $p$  حداکثر تعداد همسایگی‌ها است که معمولاً بین ۱۰ تا ۵۰ در نظر گرفته می‌شود (۶). به منظور به دست آوردن مقدار آماره گاما ( $\Gamma$ ) ابتدا مقدار  $(k, \delta_M)$  با توجه به داده‌های ورودی به شرح زیر محاسبه می‌شود:

$$\delta_M(k) = \frac{1}{M} \sum_{i=1}^M |X_{N[i, k]} - X_i|^2, 1 \leq k \leq p \quad (3)$$

که در آن  $|.....|$  به عنوان فاصله اقلیدسی بردار  $X_{N[i, k]}$  از همسایگی‌های آن می‌باشد. همچنین مقدار آماره گاما کوچک  $(\gamma_M(k))$  با استفاده از داده‌های خروجی به شرح زیر به دست می‌آید:

$$\gamma_M(k) = \frac{1}{2M} \sum_{i=1}^M |y_{N[i, k]} - y_i|^2, 1 \leq k \leq p \quad (4)$$

**آزمون گاما**  
آزمون گاما یک روش غیر خطی است که نتایج آن صرف نظر از روش‌های خاص برای مدل‌سازی به کار برده می‌شود (۲۵). فرض می‌شود مجموعه داده‌های مشاهداتی به صورت زیر است:

$$\{(x_i - y_i), 1 \leq i \leq M\} \quad (1)$$

که در آن  $x_i$  بردار مشاهداتی ورودی (مانند رواناب، بارش، درجه حرارت هوا با تاریخ‌های مختلف و هر متغیر موثر دیگر)،  $y_i$  خروجی مشاهداتی (مانند میانگین دبی رواناب روزانه) و  $M$  تعداد کل مشاهدات می‌باشد. از بردار  $x_i$  (در فضای  $m$  بعدی) برای مدل‌سازی  $y_i$  (در فضای  $R$ ) استفاده می‌شود. بنابراین، با توجه به فرض فوق رابطه بین ورودی و خروجی به شرح زیر در نظر گرفته می‌شود:

$$y = f(x) + r \quad (2)$$

که در آن  $f(x)$  یک تابع هموار و  $r$  متغیر تصادفی نشان‌دهنده‌ی خطأ بوده، همچنین فرض شده است میانگین توزیعی که  $r$  از آن پیروی کرده، صفر و واریانس خطأ  $Var(r)$  کران‌دار است. به این ترتیب، مدل نشان داده شده با رابطه ۲ به مدلی هموار با مشتق‌ات جزئی مرتبه اول محدود می‌گردد و آماره گاما ( $\Gamma$ ، واریانس بخشی از داده‌ها) که تابع

از طول داده‌های ورودی). نتایج آزمون  $M$  به مشخص کردن اینکه آیا تعداد داده‌های کافی برای تخمین تقریبی گاما و یک مدل قابل اعتماد وجود دارد، کمک می‌کند. آزمون  $M$  بر سری‌هایی که توان آن‌ها دارای مقادیر حقیقی و مختلط هستند اعمال می‌شود و شبیه به آزمون مقایسه برای تعیین همگرایی سری از اعداد حقیقی و یا پیچیده است. در واقع رسم نمودار تغییرات مقدار آماره گاما و یا خطای استاندارد در مقابل تعداد داده‌ها می‌باشد. در نقطه‌ای که این دو نمودار تقریباً به حالت افقی و پایدار می‌رسند آن نقطه تعیین کننده تعداد نقاط کافی جهت استفاده در بخش آموزش مدل‌سازی می‌باشد (۱۴).

#### شبکه عصبی پیشرو با آموزش لونبرگ- مارکوارت

از اوایل دهه ۱۹۹۰ تاکنون، شبکه‌های عصبی مصنوعی در زمینه هیدرولوژی نیز به طور موفقیت‌آمیز به کار گرفته شده‌اند (۵). حدود ۹۰٪ شبکه‌هایی که در مسائل هیدرولوژی کاربرد دارد شبکه‌های پیشرو هستند (۶). معماری معمول این شبکه متشکل از سه لایه ورودی، پنهانی و خروجی است. تعداد نرون‌های موجود در لایه ورودی و خروجی بستگی به نوع مسئله دارد ولی تعداد گره‌های لایه پنهان با سعی و خطا بدست می‌آید. در شکل ۲،  $X = (x_1, \dots, x_i, \dots, x_n)$  بردار ورودی‌ها،  $w_{ij}$  وزن اتصالی از نامین گره به زامین گره در لایه بعد،  $r_j$  بایاس مربوط به گره  $j$ ام،  $y_j$  خروجی‌های هر لایه،  $Y$  خروجی نهایی شبکه عصبی مصنوعی است. در شبکه‌های پیشرو، اتصالاتی میان گره‌ها وجود دارد، که این اتصالات در لایه‌های متفاوت قرار دارند. همچنین ورودی‌ها در لایه ورودی شبکه نمایش داده شده و عمل تحریک از ورودی به سمت خروجی شبکه شروع می‌شود (۷). جهت اطلاعات بیشتر می‌توان به مرجع (۱۱) مراجعه نمود. لازم به ذکر است که در تحقیق حاضر از تعداد نرون‌های ۱ تا ۲۵ برای لایه پنهان شبکه استفاده گردید تا این طریق تأثیر ساختار مختلف شبکه بر عملکرد آن در شبیه‌سازی مقادیر تبخیر را مورد ارزیابی قرار داد. از آنجا که متدالوں ترین نوع توابع محرک تابع تائزانت سیگموئید می‌باشد بنابراین در این مطالعه از آن برای نکاشت اطلاعات از لایه ورودی به لایه پنهان و همچنین برای نگاشت اطلاعات از لایه پنهان به لایه خروجی استفاده شد.

که در آن  $y_{N[i,k]}$  مقدار خروجی نظری  $k$  امین نزدیک‌ترین همسایگی برای بردار  $x_i$  می‌باشد. به این ترتیب  $p$  مقدار برای  $\delta_M(k)$  و  $p$  مقدار برای  $\gamma_M(k)$  به دست آورده می‌شود. سپس بین  $p$  زوج مرتب  $\{\delta_M(k), \gamma_M(k)\}$  رابطه رگرسیونی خطی ساده به شرح رابطه ۵ برقرار خواهد شد طوری که در آن  $\Delta$  و  $\gamma$  به ترتیب به عنوان متغیرهای مستقل ووابسته در نظر گرفته شده است.

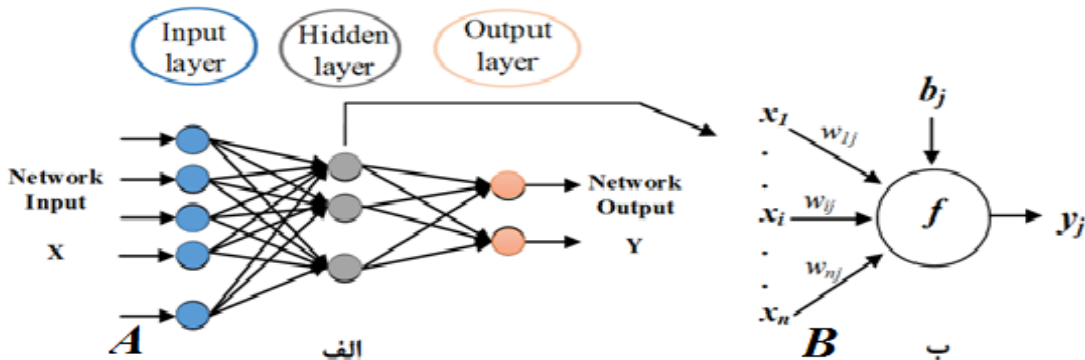
$$(5) \quad \gamma = A \delta + \Gamma$$

مقدار آماره‌ی  $\Gamma$  در واقع عرض از مبدأ خط رگرسیون فوق می‌باشد.  $A$  شبیه خط رگرسیون بوده که نشان‌دهنده پیچیدگی مدلی است که از روی داده‌های مشاهداتی ایجاد می‌شود. متغیر دیگری که معمولاً در آزمون گاما به کار برده می‌شود متغیر بدون بعد  $V_{ratio}$  نام دارد که مقدار آن بین صفر و یک بوده و مقدار آن از رابطه ۶ محاسبه می‌شود (۷):

$$(6) \quad V_{ratio} = \frac{\Gamma}{\sigma^2(y)}$$

که در آن  $(y)^2$  واریانس داده‌های مشاهداتی می‌باشد. هرچه مقدار  $V_{ratio}$  به صفر نزدیک‌تر باشد ترکیب انتخابی برای مدل‌سازی، ترکیب مناسب‌تری است. ثابت شده است که اگر این مقدار از یک کم شود مقدار ضریب تبیین مدل به دست می‌آید.

اگر فرض شود که  $N$  تعداد متغیرهای ورودی موثر بر خروجی مدل باشد، در این صورت، تعداد  $1 - 2^N - 1$  حالت (ترکیب‌های مختلفی از متغیرهای ورودی) وجود دارد که می‌توان از هر کدام برای تهیه مدل استفاده کرد. از همه ترکیبات ممکن برای یافتن بهترین ترکیب ورودی به مدل بسیار وقت گیر و خسته‌کننده است. بنابراین، در شرایطی که تعداد متغیر ورودی زیاد باشد با استفاده از آزمون گاما می‌توان بهترین ترکیب از میان حالات ممکن را تشخیص داد. همچنین با استفاده از آزمون  $M$  تعداد بهینه داده‌های ورودی در بخش آموزش مدل‌سازی تشخیص داده می‌شود. آزمون  $M$  نشان‌دهنده سری‌های زمانی نامتناهی در توابع یکنواخت همگرا و کامل می‌باشد. در واقع برای تعیین مقدار خروجی از آزمون  $M$  استفاده می‌شود (تکرار اجرای آزمون گاما با تعداد مختلف



شکل ۲-الف) شماتیکی شبکه‌های پیشرو سه لایه، ب) شماتیکی زامین گره از آن  
Figure 2. A) General image Neural Network Leading three layers. B) imag image of jth node from it

که در آن  $\sigma_x$  انحراف استاندارد متغیر مشاهده شده و  $\bar{x}$  عرض متوسط باند اطمینان می‌باشد و به صورت زیر تعریف می‌شود (۱).

$$\bar{d}x = \frac{1}{n} \sum_{t=1}^K (X_U - X_L) \quad (8)$$

درصد داده‌های قرار گرفته در باند اطمینان ۹۵٪ نیز به صورت زیر محاسبه شده است:

$$\text{Bracketed by } 95\text{PPU} = \frac{1}{k} \text{count} \left( j | X_L^j \leq X_{\text{reg}}^j \leq X_U^j \right) * 100 \quad (9)$$

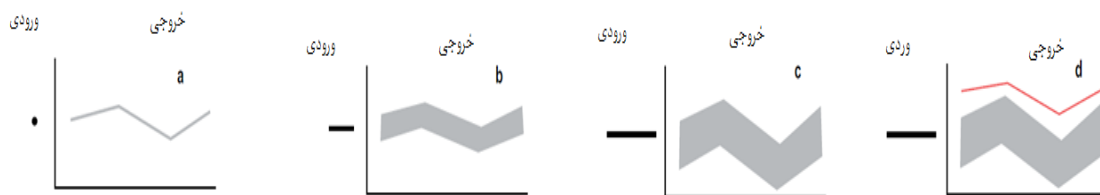
در رابطه بالا  $K$  تعداد داده‌های مشاهداتی،  $l$  نشان‌دهنده روز مورد نظر که از یک تا  $K$  در نظر گرفته می‌شود.  $X_L^j$  مشخص کننده حدود اطمینان در باند اطمینان ۹۵٪ و  $X_U^j$  مقدار ثیت‌شده در روز  $j$  پارامتری است که در هر واحد زمانی با ثبت شدن هر متغیر در روز  $j$ ، واقع در بین باندهای عدم قطعیت افزایش می‌یابد. بیشترین مقدار برای  $j$  زمانی به دست می‌آید که  $i=k$  باشد. اگر همه مقادیر در داخل باند اطمینان عدم قطعیت قرار بگیرند Bracketed by 95PPU = 100 خواهد شد (۹).

به طور کلی می‌توان مفهوم عدم قطعیت را در شکل ۳ نشان داد. همان‌طور که مشاهده می‌شود، پارامتر با مقدار واحد باعث ایجاد یک نتیجه واحد برای مدل می‌شود (شکل a). در صورتی که انتشار عدم قطعیت در پارامتر باعث ایجاد ناحیه‌ای از جواب می‌شود (شکل b). هنگامی که عدم قطعیت پارامترها ورودی افزایش می‌یابد (شکل c). چنانچه حالت d رخ دهد مشکل افزایش می‌یابد (شکل c). مقدار مدل مفهومی مورد ارزیابی مجدد قرار گیرد (۱).

### عدم قطعیت

در این تحقیق عدم قطعیت شبکه عصبی پرسپترون چندلایه مورد بررسی قرار گرفت. برای به کمیت در آوردن عدم قطعیت، ضرایب p-factor و d-factor پیشنهاد شده است. که به ترتیب برای به کمیت در آوردن قدرت واسنجی و تحلیل عدم قطعیت می‌باشد (۳). P-factor درصدی از داده‌های مشاهداتی است که در باند ۹۵ppu قرار گرفته‌اند. مقدار ایده‌آل p-factor زمانی است که همه‌ی داده‌های مشاهداتی در باند ۹۵PPU قرار بگیرند (P-factor → 1). از طرف دیگر d-factor با میانگین فاصله بین حدود بالا و پایین باند ۹۵PPU است که با تقسیم بر انحراف معیار داده‌های مشاهداتی نرمال شده است (۳). براساس تعریف d-factor، بدینهی است که مقدار آن مستقیماً به بزرگی عدم قطعیت خروجی‌های پیش‌بینی شده مرتبط می‌شود (۲۴). به عبارت دیگر بزرگی d-factor نشان‌دهنده بالا بودن عدم قطعیت مدل است. مناسب‌ترین مقدار برای d-factor زمانی است که به صفر نزدیک باشد (d-factor → 0). در این مطالعه از روش پیشنهادی (۱) در رابطه با تحلیل عدم قطعیت شبکه عصبی مصنوعی پرسپترون چندلایه استفاده گردید. همان‌طور که در بالا ذکر شد، برای بررسی عدم قطعیت، ابتدا باند اطمینان پیش‌بینی عدم قطعیت ۹۵٪ (95PPU) مذکور قرار گرفت. سپس مقدار d-factor یا عرض متوسط باند اطمینان محاسبه شد. طریقه به دست آوردن آن در ذیل ذکر گردیده است. برای سنجش عرض متوسط باند اطمینان، شاخص فاکتور عرض باند (d-factor) مطابق رابطه زیر به دست می‌آید:

$$d-\text{factor} = \frac{\bar{d}x}{\bar{x}} \quad (7)$$



شکل ۳- مفهوم عدم قطعیت  
Figure 3. The Concept of Uncertain

بود که مقدار این سه معیار برای آن به ترتیب، نزدیک به یک، صفر و یک باشد (۱۳).

$$CC = \sqrt{\frac{\sum_{i=1}^N (x_i - \bar{x})(y_i - \bar{y})^2}{\sum_{i=1}^N (x_i - \bar{x})^2 \sum_{i=1}^N (y_i - \bar{y})^2}} \quad (10)$$

### معیارهای ارزیابی

با استفاده از روش‌های مختلفی می‌توان عملکرد مدل‌ها را مورد ارزیابی و مقایسه قرار داد، یکی از این روش‌ها استفاده از معیارهای ارزیابی می‌باشد. از جمله معیارهای ارزیابی پرکاربرد در علوم مهندسی آب، ضرایب همسنگی (CC)، ریشه میانگین مربعات خطأ (RMSE) و معیار ناش-سانکلیف (NS) می‌باشند که به ترتیب، در روابط ۱۱، ۱۰ و ۱۲ آورده شده‌اند. دقیق‌ترین مدل با توجه به این معیارها، مدلی خواهد

دماه متوسط، بارندگی، رطوبت نسبی متوسط، رطوبت نسبی حداکثر و رطوبت نسبی حداقل در مرتبه‌های بعدی می‌باشند. لازم به ذکر است که مقدمنیا و همکاران (۱۷) به قابلیت بالای آزمون گاما برای انتخاب پارامترهای بهینه در مدل‌سازی بهمنظور کاهش زمان و هزینه‌ها در مدل‌سازی اشاره کرده‌اند.

#### تعیین بهترین ترکیب

انتخاب ترکیب مناسب از پارامترهای ورودی یکی از مهم‌ترین مراحل ساخت و طراحی هر گونه مدل‌سازی ریاضی و هوشمند است. در این پژوهش با در نظر گرفتن نه پارامتر ورودی موثر بر تبخیر، تعداد ۵۱۱ ترکیب مختلف ایجاد شد. برای مدل‌سازی این پدیده با استفاده از شبکه عصبی پرسپترون چندلایه بررسی تک تک ترکیبات ایجاد شده برای یافتن بهترین ترکیب بسیار وقت‌گیر و خسته‌کننده است. بنابراین با استفاده از الگوریتم ژنتیک ترکیب‌های ممکن، ایجاد شده است (۲۶). با استفاده از الگوریتم بهینه‌سازی ژنتیک ترکیب‌های مختلف امتحان شده و با توجه به پارامترهای گاما، خطای استاندارد، شبیه و نسبت  $V$  بهترین ترکیب انتخاب شده است. تعداد بهینه تکرار ۱۰۰، جهش ۰/۰۵ و اندازه جمعیت ۱۵۰ به دست آمده است. نتایج حاصل برای چند ترکیب منتخب که دارای کمترین مقدار گاما هستند در جدول ۳ برای ایستگاه رشت و در جدول ۴ برای ایستگاه منجیل آورده شده است. براساس نتایج جدول ۳، ترکیبی که شامل پارامترهای ورودی دمای حداقل، دمای حداکثر، دمای متوسط، رطوبت نسبی حداکثر، ساعت آفتابی و سرعت باد برای ایستگاه رشت (ترکیب ۲) و دمای حداکثر، دمای حداقل، رطوبت نسبی حداکثر، رطوبت نسبی حداقل، ساعت آفتابی و سرعت باد (ترکیب ۲) و برای ایستگاه منجیل، دمای حداکثر، دمای حداقل، رطوبت نسبی حداکثر، رطوبت نسبی حداقل، ساعت آفتابی و سرعت باد (ترکیب ۲) با کمترین مقدار آماره گاما نسبت به سایر ترکیب‌های به عنوان بهترین ترکیب ورودی انتخاب شدند.

$$RMSE = \sqrt{\frac{1}{N} \sum_{i=1}^N (x_i - y_i)^2} \quad (11)$$

$$NS = 1 - \frac{\sum_{i=1}^N (x_i - y_i)^2}{\sum_{i=1}^N (x_i - \bar{x})^2} \quad (12)$$

در روابط بالا  $x_i$  و  $\bar{x}$  به ترتیب، مقادیر مشاهداتی جریان و میانگین مقادیر مشاهداتی،  $y_i$  و  $\bar{y}$  مقادیر محاسباتی جریان،  $N$  تعداد داده‌ها می‌باشد. مقدار شاخص NS از ۱ تا منفی بی‌نهایت تغییر می‌کند. بازه‌های شاخص در یک شبیه‌سازی به ترتیب نشان‌دهنده عملکرد بسیار خوب، رضایت‌بخش و ضعیف مدل مورد استفاده می‌باشند (۱۸).

#### نتایج و بحث آزمون گاما

برای تعیین ترکیب ورودی جهت تخمین تبخیر از آزمون گاما استفاده شده است. بنابراین ابتدا آزمون گاما برای کل داده‌ها انجام گرفت (ردیف ۱) و سپس این آزمون براساس حذف هر یک از نه متغیر صورت گرفته است (ردیف‌های ۲ تا ۱۰) که در جدول ۲ نشان داده شده است. نتایج جدول ۲ بیانگر آن است که با حذف سرعت باد برای ایستگاه رشت، مقدار گاما دارای بیشترین مقدار می‌گردد. بنابراین با توجه به این آزمون، سرعت باد موثرترین پارامتر بر تبخیر در ایستگاه رشت می‌باشد. پارامترهای ساعت آفتابی، دمای متوسط، رطوبت نسبی حداکثر، دمای حداقل، رطوبت نسبی حداقل، دمای حداکثر، دمای حداقل، رطوبت نسبی متوسط و بارندگی به ترتیب در مرتبه‌های بعدی قرار دارند. همچنین برای ایستگاه منجیل، ساعت آفتابی موثرترین پارامتر بر تبخیر در این ایستگاه می‌باشد. پارامترهای سرعت باد، دمای حداقل، دمای حداکثر،

جدول ۲- نتایج آزمون گاما برای دو ایستگاه رشت و منجیل  
Table 2. Reaults of the gamma test for Rasht and Manjil stations

ایستگاه	شماره ترکیب	متغیر غایب در مدل	گاما	شیب	خطای استاندارد	نسبت ۷
رشت	۱	-	-	-	-	-/۲۵۳۵
	۲	دماه حداکثر	-/۰۶۳۳	-/۰۶۴۱	-/۰۱۳۰	-/۲۷۴۱
	۳	دماه حداقل	-/۰۶۸۵	-/۰۳۷۶	-/۰۰۸۸	-/۲۷۴۰
	۴	دماه متوسط	-/۰۷۰۳	-/۰۲۲۳	-/۰۰۸۲	-/۲۸۱۵
	۵	رطوبت نسبی حداکثر	-/۰۷۰۳	-/۰۱۵۶	-/۰۰۸۱	-/۲۸۱۴
	۶	رطوبت نسبی حداقل	-/۰۶۴۰	-/۰۶۷۷	-/۰۰۵۲	-/۲۵۶۱
	۷	بارندگی	-/۰۵۶۴	-/۰۱۳۸	-/۰۱۰۱	-/۲۲۵۵
	۸	ساعت آفتابی	-/۰۷۱۵	-/۰۶۳۳	-/۰۱۲۵	-/۲۸۵۹
	۹	سرعت باد	-/۰۸۱۴	-/-۰۱۰۷	-/۰۰۵۴	-/۳۲۵۹
	۱۰	رطوبت نسبی متوسط	-/۰۶۲۰	-/۰۷۸۰۰	-/۰۰۴۶	-/۲۴۸۰
منجیل	۱	-	-/۰۲۷۰	-/۰۱۹۰۱	-/۰۰۹۱	-/۱۱۰۱
	۲	دماه حداکثر	-/۰۲۸۱	-/۰۱۶۲	-/۰۰۱۱	-/۱۱۰۹
	۳	دماه حداقل	-/۰۳۱۲	-/۰۱۴۰	-/۰۰۱۲	-/۱۲۰۵
	۴	دماه متوسط	-/۰۲۷۵	-/۰۲۵۶	-/۰۰۱۰	-/۱۱۰۰
	۵	رطوبت نسبی حداکثر	-/۰۴۹۳	-/۰۳۹۲	-/۰۰۳۱	-/۱۰۴۵
	۶	رطوبت نسبی حداقل	-/۰۲۶۲	-/۰۳۱۴	-/۰۰۲۲	-/۱۰۴۳
	۷	بارندگی	-/۰۲۷۳	-/۰۲۶۲	-/۰۰۰۹	-/۱۱۰۱
	۸	ساعت آفتابی	-/۰۳۳۰	-/۰۰۹۱	-/۰۰۲۱	-/۱۳۳۲
	۹	سرعت باد	-/۰۰۳۲	-/۰۱۱۰	-/۰۰۱۰	-/۱۲۴۳
	۱۰	رطوبت نسبی متوسط	-/۰۲۶۹	-/۰۰۲۵	-/۰۰۱۳	-/۱۰۵۵

جدول ۳- نتایج آزمون گاما برای ترکیب‌های منتخب ایستگاه رشت  
Table 3. Reaults of Gamma test for the compound selection Rasht station

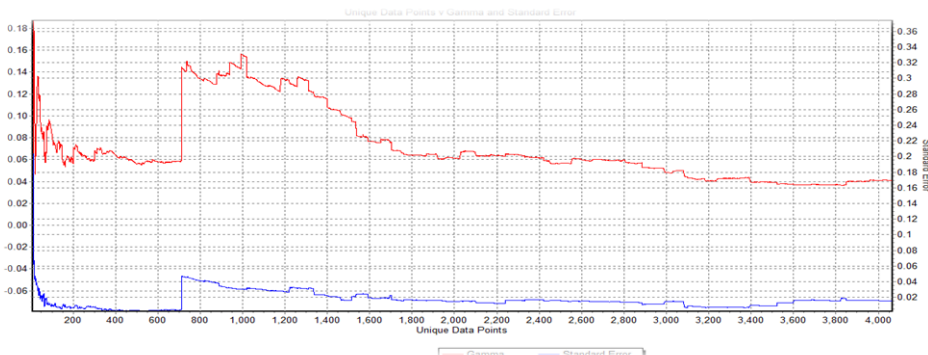
ردیف	پارامترها	V	خطای استاندارد	شیب	گاما
۱	دماه حداقل، دماه حداکثر، دماه متوسط، رطوبت نسبی حداکثر، رطوبت نسبی حداکثر، ساعت آفتابی، سرعت باد	-/۲۰	-/۰۰۰۵	-/۰۲۰	-/۰۵
۲	دماه حداقل، دماه حداکثر، دماه متوسط، رطوبت نسبی حداکثر، ساعت آفتابی، سرعت باد	-/۱۸	-/۰۰۱	-/۰۲۸	-/۰۴۶
۳	دماه حداقل، دماه حداکثر، دماه متوسط، رطوبت نسبی حداکثر، ساعت آفتابی، سرعت باد	-/۱۹	-/۰۰۱	-/۰۲۷	-/۰۴۸
۴	دماه حداقل، رطوبت نسبی حداکثر، ساعت آفتابی، سرعت باد، رطوبت نسبی متوسط، رطوبت نسبی حداقل	-/۱۹	-/۰۰۰۵	-/۰۲۶	-/۰۴۹

جدول ۴- نتایج آزمون گاما برای ترکیب‌های منتخب ایستگاه منجیل  
Table 4. Reaults of Gamma test for the compound selection Manjil station

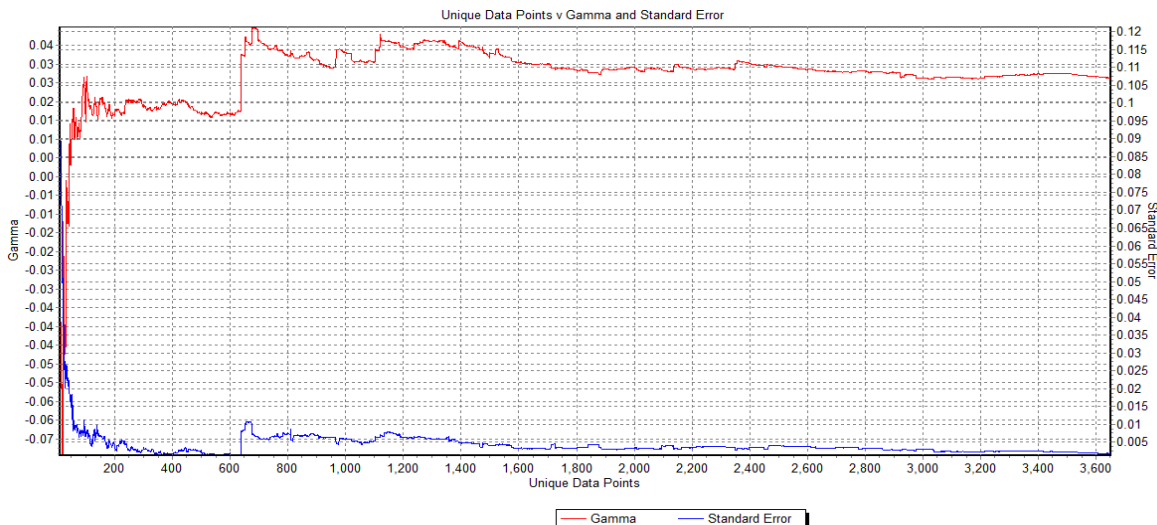
ردیف	پارامترها	V	خطای استاندارد	شیب	گاما
۱	دماه حداکثر، دماه حداقل، دماه متوسط، رطوبت نسبی حداکثر، رطوبت نسبی متوسط، بارندگی، ساعت آفتابی، سرعت باد	-/۱۰۴	-/۰۰۰۲	-/۰۳۱	-/۰۲۶
۲	دماه حداکثر، دماه حداقل، رطوبت نسبی حداکثر، رطوبت نسبی حداقل، ساعت آفتابی، سرعت باد	-/۱۰۳	-/۰۰۰۲	-/۰۴۹	-/۰۲۵
۳	دماه حداکثر، رطوبت نسبی حداکثر، رطوبت نسبی حداقل، ساعت آفتابی، سرعت باد	-/۱۰۴	-/۰۰۰۲	-/۰۸۰	-/۰۲۶
۴	دماه حداکثر، دماه حداقل، رطوبت نسبی حداقل، رطوبت نسبی ماکزیمم، بارندگی، ساعت آفتابی، سرعت باد	-/۱۰۵	-/۰۰۰۱	-/۰۳۶	-/۰۲۶

استاندارد را تشخیص و مقدار آماره گاما با افزایش تعداد داده‌ها را نشان داد (۹). با توجه به شکل ۴ می‌توان مشاهده نمود که آماره گاما و خطای استاندارد تقریباً در اطراف نقطه ۳۲۵۰ برای ایستگاه رشت و در شکل ۵ در نقطه ۱۶۰۰ به حالت پایدار می‌رسند که با افزایش تعداد داده‌ها متحنی گاما و خطای استاندارد، تغییرات چندانی به خود نمی‌بینند. بنابراین تعداد داده‌های معنی‌دار برای آموزش شبکه عصبی مصنوعی ۳۲۵۰ و ۱۶۰۰ مجموعه داده به ترتیب برای ایستگاه رشت و منجیل می‌باشد.

تعیین تعداد داده‌های مورد نیاز یکی از چالش‌های اصلی در مدل‌سازی پدیده‌ها، ارزیابی اطلاعات موجود و کفايت داده‌ها است. به بیان دیگر، چه تعداد الگواز مجموعه الگوهای رودی باید برای مدل‌سازی استفاده شود؟ اگرچه به طور کلی با افزودن اطلاعات بیشتر، عملکرد مدل در مرحله واسنجی بهبود می‌یابد، اما این افزایش به چه میزان می‌تواند عملکرد مدل را بهبود بخشد؟ علاوه بر آن، با استفاده از نمودار آزمون M می‌توان تعداد داده‌های معنی‌دار برای ایجاد یک مدل هموار (قابل اعتماد و غیر پیچیده) به منظور پیش‌بینی تبخر روزانه و چگونگی تغییرات خطای



شکل ۴- آزمون M مقادیر گاما برای مدل منتخب در ایستگاه رشت  
Figure 4. M test of the selection Model on Rasht station



شکل ۵- آزمون M مقادیر گاما برای مدل منتخب در ایستگاه منجیل  
Figure 5. M test of the selection Model on Manjil station

### نتایج عدم قطعیت

معماری بهینه مدل که در بخش قبل تعیین شده بود در این بخش مورد استفاده قرار گرفت. بررسی باند پیش‌بینی عدم قطعیت %۹۵ (95PPU) نشان می‌دهد که منجیل دارای p-factor ۴۵ درصد و رشت دارای p-factor ۲۵ درصد می‌باشد. همچنین مقدار d-factor برای منجیل ۰/۳۳ و برای رشت ۰/۳ به دست آمد که نتایج در جدول ۵ آورده شده است. در این مطالعه همان‌طور که ذکر شد مقادیر d-factor برای هر دو ایستگاه مقادیر کوچکی به دست آمد که نشان‌دهنده پایین بودن عدم قطعیت مدل مذکور می‌باشد. بنابر نتایج، مقدار p-factor پایین بوده است. به عبارت دیگر اکثر داده‌های اندازه‌گیری شده در باند PPU 95 قرار نگرفته‌اند. دلایل آن را می‌توان به ترتیب اهمیت اشاره کرد:

- ۱- عدم قطعیت‌های کوچک در پارامترهای ورودی (۲۲).
- ۲- ضعف شبکه عصبی مصنوعی در پیش‌بینی تبخیر، کاهش عرض باند پیش‌بینی عدم قطعیت ۹۵ درصد شبکه عصبی با افزایش افق پیش‌بینی می‌باشد. این امر برخلاف اصول احتمالاتی بوده و نشان می‌دهد که شبکه عصبی در

**نتایج مدل شبکه عصبی مصنوعی- آزمون گاما**  
بر اساس نتایج پارامترهای موثر به دست آمده از روش آزمون گاما بهترین ترکیب از میان پارامترهای ورودی برای مدل شبکه عصبی مصنوعی- آزمون گاما مشخص گردید. ترکیب به کار رفته برای مدل شبکه عصبی مصنوعی- آزمون گاما در جدول ۳ برای ایستگاه رشت و در جدول ۴ برای ایستگاه منجیل آورده شده است. با توجه به جدول ۵ برای ایستگاه رشت مدل مذکور عملکرد مناسبی را نشان داده است. مجدور میانگین مربعات خطأ در این ایستگاه ۰/۹۵، ضریب همبستگی ۰/۸۶ و ضریب ناش- ساتکلیف ۰/۷۴ بوده است. برای ایستگاه منجیل مدل دارای مجدور میانگین مربعات خطأ ۱/۵۸، ضریب همبستگی ۰/۹۴ و ضریب ناش- ساتکلیف ۰/۸۹ بوده است. با توجه به ضرایب ناش- ساتکلیف می‌توان گفت که مدل مذکور عملکرد بسیار خوبی در هر دو ایستگاه می‌باشد. همچنین با توجه به شکل‌های ۶ و ۷ می‌توان گفت که داده‌های مشاهداتی و داده‌های تخمین زده شده بسیار نزدیک به هم هستند، که نشان‌دهنده عملکرد مناسب مدل شبکه عصبی مصنوعی- آزمون گاما می‌باشد.

عرض پیشتری نسبت به ایستگاه رشت است. بنابراین d-factor آن از ایستگاه رشت بزرگتر می‌باشد. در واقع می‌توان گفت هرچه عرض باند پیش‌بینی عدم قطعیت ۹۵ درصد پیشتر باشد d-factor نیز پیشتر و هرچه عرض باند کمتر، d-factor نیز کمتر خواهد بود که همانند نتایج بدست آمده از تحقیق نوری و همکاران (۱۹) است.

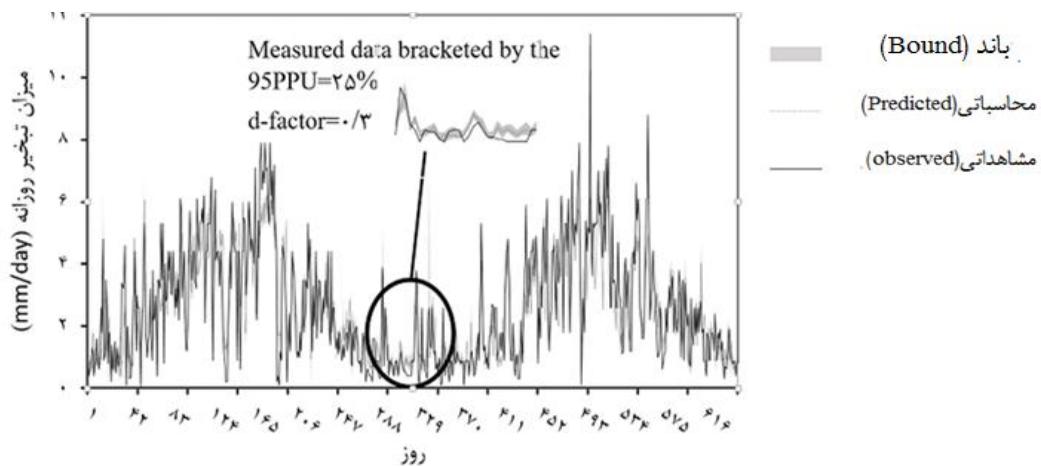
در حالت کلی می‌توان نتیجه گرفت که مقدار d-factor در مدل شبکه عصبی مصنوعی-آزمون گاما برای هر دو ایستگاه در مرحله صحت سنجی نزدیک به مقدار توصیه شده (صفرا) بود. بنابراین مدل در پیش‌بینی تبیخ روزانه دارای عدم قطعیت پایینی می‌باشد. لازم به ذکر است که محاسبات مربوط به عدم قطعیت در نرم‌افزار متلب انجام شده است.

پیش‌بینی‌های بلندمدت دارای ضعف و نوعی بی‌تفاوتی به داده‌ها است (۸).

۳- ضعف در قدرت واسنجی مدل می‌باشد (۳).  
به طور کلی ساخت سدها، مخازن، جاده‌ها، تغییر کاربری اراضی، تغییر اقلیم، پوشش منطقه و... می‌تواند بر هیدرولوژی محلی منطقه در طولانی مدت تاثیر گذار باشد، این از مهم‌ترین و اغلب یکی از منابع فراموش شده عدم قطعیت در مدل سازی هیدرولوژیک مقیاس‌های بزرگ می‌باشد. همگام با افزایش توسعه در مدیریت منابع آب، مدل سازی هیدرولوژی سخت خواهد شد و به در دسترس بودن جزئیات فعالیت‌های مدیریتی وابسته خواهد بود. با توجه به شکل‌های ۶ و ۷ در بخش صحت‌سنجی برای ایستگاه منجیل باند ۹۵PPU دارای

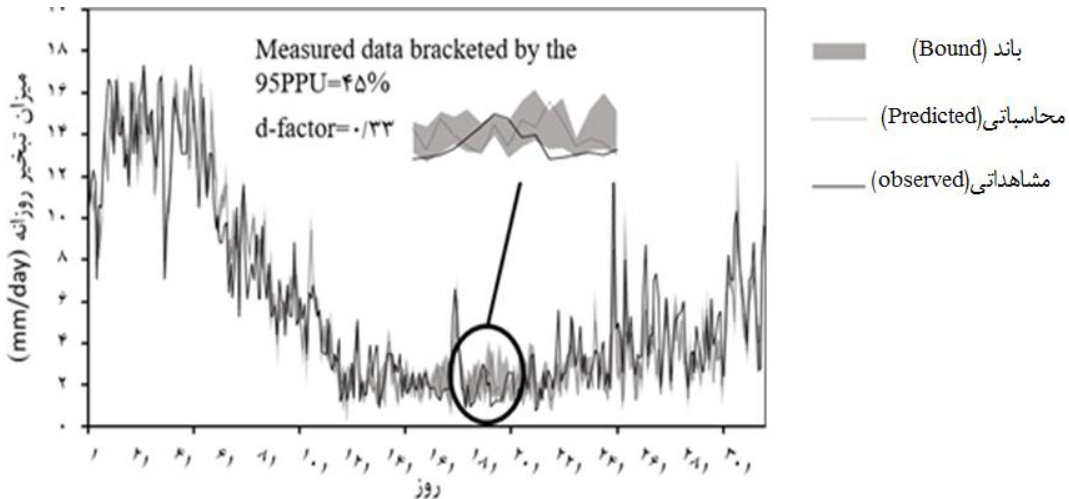
جدول ۵- نتایج مدل شبکه عصبی مصنوعی-آزمون گاما همراه با نتایج عدم قطعیت مدل  
Table 5. Reasults of ANN-GT Model with Reasults of Model's uncertainty

معماری شبکه	صحت سنجی				آموختن				مدل	ایستگاه
	P-Factor/%	d-Factor	NS	RMSE	CC	NS	RMSE	CC		
۶-۱۲-۱	۲۵	.۰/۳	.۰/۷۴	.۰/۹۵	.۰/۸۶	.۰/۷۶	.۰/۹۳	.۰/۸۷	ANN-GT	رشت
۶-۱۲-۱	۴۵	.۰/۳۳	.۰/۸۹	.۱/۵۸	.۰/۹۴	.۰/۹۰	.۱/۵۶	.۰/۹۵	ANN-GT	منجیل



شکل ۶- باند عدم قطعیت ۹۵ درصد مدل شبکه عصبی مصنوعی-آزمون گاما همراه با نمودار مشاهداتی و محاسباتی در دوره صحت‌سنجی (ایستگاه رشت)

Figure 6. 95PPU bound of ANN-GT Model with observed and predicted Chart in test period(Rasht station)



شکل ۷- بند عدم قطعیت ۹۵ درصد شبکه عصبی مصنوعی-آزمون گاما همراه با نمودار مشاهداتی و محاسباتی در دوره صحتسنجی (ایستگاه منجیل)

Figure 7. 95PPU bound of ANN-GT Model with observed and predicted chart in test period (Manjil station)

بررسی عدم قطعیت مدل شبکه عصبی مصنوعی- آزمون گاما جهت پیش‌بینی تبخیر روزانه در ایستگاه‌های رشت و منجیل صورت گرفت. بنابراین در مرحله بعد آنالیز عدم قطعیت مدل مذکور انجام شد. برای بررسی عدم قطعیت مدل از دو شاخص d-factor و p-factor استفاده گردید. همان‌طور که در جدول ۵ ذکر شده است مقدار d-factor برای هر دو ایستگاه مقادیر مطلوبی (نزدیک به صفر) بدست آمد که نشان‌دهنده عدم قطعیت پایین در مدل مفهومی می‌باشد که با نتایج قربانی و همکاران (۱۰) مبنی بر پایین بودن عدم قطعیت شبکه عصبی مصنوعی و عملکرد مناسب مطابقت دارد. اما شاخص p-factor نشان داد که تعداد کمی از داده‌ها در داخل بند پیش‌بینی عدم قطعیت ۹۵ درصد قرار گرفته است همانند نتایج اشکول و عباسپور (۲۳) و فرخنیا و پارادی (۸) که دلیل اصلی آن عدم قطعیت‌های کوچک در پارامترها می‌باشد. به طور کلی می‌توان بیان نمود که نتایج بدست آمده از این تحقیق نشان‌دهنده عدم قطعیت پایین و قابل قبول مدل مذبور بوده که بیانگر پایداری و اطمینان‌بیزیری این مدل در برآورد تبخیر روزانه در ایستگاه‌های مذکور است. بنابراین می‌توان در آینده برای موارد مطالعاتی و کاربردی که در اختیار داشتن تبخیر مورد نیاز باشد، از مدل شبکه عصبی مصنوعی- آزمون گاما (ANN-GT) در دو ایستگاه مذکور استفاده نمود و همچنین می‌توان با افزایش دقت و بالا بردن کیفیت داده‌ها عملکرد این مدل را بهبود بخشید.

اندازه‌گیری تبخیر روزانه بسیار زمان‌بر و هزینه‌بردار است. به همین دلیل استفاده از مدلی که توانایی مدل‌سازی دقیق این پدیده دینامیک و پیچیده را داشته باشد به عنوان جایگزینی مناسب سال‌هاست که مدنظر محققان مختلف بوده است. در این راستا هدف اصلی مقاله حاضر ارایه مدلی برای این منظور در ایستگاه‌های مورد مطالعه رشت و منجیل بوده است. به منظور نیل به اهداف ذکر شده ابتدا مدل ANN-GT با استفاده از اطلاعات موجود مراجع علمی، توسعه داده شد. از آنجایی که ورود همه ترکیبات به مدل‌های برآورد کننده مشکل و وقت‌گیر است، در این تحقیق از آزمون گاما به منظور تعیین بهترین ترکیب در پیش‌بینی تبخیر روزانه استفاده گردید. بر اساس داده‌های موجود ترکیب شامل پارامترهای ورودی دمای حداکثر، دمای متوسط، رطوبت نسبی حداکثر، ساعت آفتابی و سرعت باد برای ایستگاه رشت و برای ایستگاه منجیل دمای حداکثر، دمای حداقل، رطوبت نسبی حداکثر، رطوبت نسبی حداقل، دمای حداقل، رطوبت نسبی حداکثر، رطوبت نسبی حداقل، ساعت آفتابی و سرعت باد با کمترین مقدار آماره گاما نسبت به سایر ترکیب‌ها به عنوان بهترین ترکیب ورودی به مدل انتخاب گردیدند. نتایج بدست آمده برای شبکه عصبی مصنوعی- آزمون گاما نشان داد که مدل همچون تحقیق سیفی و همکاران (۲۴) و شریفی و همکاران (۲۵) از دقت کافی برخوردار بوده است. نکته دیگر مشکل وجود عدم قطعیت در ارایه نتایج است که در این مقاله،

## منابع

1. Abbaspour, K.C., J. Yang, I. Maximov, R. Siber, K. Bogné, J. Mieleitne, J. Zobrist and R. Srinivasan. 2007. Modeling hydrology and water quality in the pre-alpine/alpine Thur watershed using SWAT. Journal of Hydrology, 333: 413-430.
2. ASCE Task Committee on Application of Artificial Neural Networks in Hydrology. 2000. Artificial Neural Networks in Hydrology. I: Preliminary Concepts, Journal of Hydrology Engineering, 2: 115-123.
3. Alizadeh, A., A. Eizad, K. Davar, A.N. Ziaie, S. Akhavan and Z. Hamidi. 2013. Estimation of actual evapotranspiration at regional-annual scale using SWAT. Iranian Journal of Irrigation and Drainage, 2: 243-258 (In Persian).

4. Coulibaly, P., F. Anctil and B. Bobée. 2000. Daily reservoir inflow forecasting using artificial neural networks with stopped training approach, *Journal of Hydrology*, 230: 244-257.
5. Dawson, C.W., R.J. Abrahart, A.Y. Shamseldin and R.L. Wibly. 2006. Flood estimation at ungauged sites using artificial neural networks, *Journal of Hydrology*, 319: 391-409.
6. Durrant, P.J. 2001. Win\_gamma TMA non-linear data analysis and modeling tool with applications to flood prediction. Ph.D. Thesis, Department of Computer Science, Cardiff University Wales, UK, 254 pp.
7. Evans, D. and A.J. Jones. 2002. A proof of the gamma test. *Proceedings of Royal Society, Series A*, 458: 2759-2799.
8. Farokhnia, A. and S. Morid. 2010. Uncertainty analysis of artificial neural networks and neuro-fuzzy models in river flow forecasting. *Journal of Iran Water Resources Research*, 3: 14-27 (In Persian).
9. Ghobaie Sogh, M.A., A. Mosaedi and A.A. Dehghani. 2010. Solar radiation data and their intelligent modeling based on gamma test with evaluation of calibrated empirical equations. *Journal of Water and Soil Conservation*, 18: 208-185.
10. Ghorbani, M.A., H. Ahmadzadeh, M. Isazadeh and O. Terzi. 2016. A comparative study of artificial neural network (MLP, RBF) and support vector machine models for river flow prediction. *Environmental Earth Science*, 75: 476-490.
11. Ghorbani, M.A., R. Khatibi, B. Hosseini and M. Bilgili. 2013. Relative importance of parameters affecting wind speed prediction using artificial neural networks. *Theoretical and Applied Climatology*, 114: 107-115.
12. Goyal, M.K., B. Bharti, J. Quilty, J. Adamowski and A. Pandey. 2014. Modeling of daily pan evaporation in sub-tropical climates using ANN, LS-SVR, Fuzzy Logic, and ANFIS. *Expert System with Application*, 41: 5267-5276.
13. Isazadeh, M., H. Ahmadzadeh and M.A. Ghorbani. 2016. Assessment of kernrl functions performance in river flow estimation using support vector machine. *Journal of Water and Soil Conservation*, 23: 69-89 (In Persian).
14. Jones, A.J. 2004. New tools in non-linear modeling and prediction. *Computational Management Science*, 1: 109-149.
15. Kisi, O., O. Genc, S. Dinc and M. Zounemat-Kermani. 2016. Daily pan evaporation modeling using chi-squared automatic interaction detector, neural networks. *Classification and Regression tree Computers and Electronics in Agriculture*, 122: 112-117.
16. Malik, A. and A. Kumar. 2015. Pan evaporation simulation based on daily meteorological data using soft computing techniques and multiple linear regression. *Water Resource Management*, 29: 1859-1872.
17. Moghaddamnia, A., M. Ghafari Gousheh, J. Piri, S. Amin and D. Han. 2009. Evaporation estimation using artificial neural networks and adaptive neurofuzzy inference system techniques. *Advance. Water Resource Management*, 32: 88-97.
18. Nash, J.E. and I.V. Sutcliffe. 1970. River flow forecasting through conceptual models, Part I, A discussion of principles, *Journal of Hydrology*, 10:282-290.
19. Noori, R., G. Hoshayaripour, K. Ashrafi and B. Nadjar Araabi. 2010. Uncertainty analysis of developed ANN and ANFIS models in prediction of carbon monoxide daily concentration. *Atmospheric Environment*, 44: 476-482.
20. Nourani, V. and M.S. Fard. 2012. Sensitivity analysis of the artificial neural network outputs in simulation of the evaporation process at different climatologic regimes. *Advance Engineering Software*, 47: 127-146.
21. Ribot, J.C., A.R. Magalhães and S. Panagides. 2005. Climate variability, climate change and social vulnerability in the semi-arid tropics, cambridge university press, 170 pp.
22. Schuol, J. and K.C. Abbaspour. 2006. Calibration and uncertainty issues of a hydrological model SWAT applied to West Africa. *Advances in Geoscience*, 9: 137-143.
23. Seifi, A., S.M. Mirlifi and H. Riahi. 2012. Introduction and application of least square support vector machine (LSSSVM) for simulation of reference evapotranspiration and uncertainly analysis of results (case study: Kerman city). *Journal of Irrigation and Water*, 13: 67-79 (In Persian).
24. Shafieai, M., H. Ansari, K. Davari and B. Ghahreman. 2012. Calibration and uncertainty analysis of a semi-distributed model in a semi-arid area, case study Neyshabur watershed. *Journal of Science and Technology of Agriculture and Natural Resources, Soil and Water Sciences*, 64: 137-148 (In Persian).
25. Sharifi, A., Y. Dinpazhouh, A. Fakheriyard and A. Moghadamni. 2012. Optimum combination of variables for run off simulation in Amameh watershed using gamma test. *Journal of Knowledge of Soil and Water*, 4: 59-72 (In Persian).
26. Zamani, M., R. Fatahi, A. Fatahi and F. Hossein Pour. 2011. Input parameters preprocessing in artificial neural network and adptive neuro-fuzzy inference system using stepwise regression and gamma test techniques for estimation of daily evaporation. *Journal of Irrigation and Water*, 9: 63-78 (In Persian).

## **Uncertainty of Artificial Neural Networks for Daily Evaporation Prediction (Case Study: Rasht and Manjil Stations)**

**Seyed Mostafa Biazar<sup>1</sup>, Mohammad Ali Ghorbani<sup>2</sup> and Kaka Shahedi<sup>3</sup>**

1- M.Sc. Student of Water Resources, University of Tabriz (Corresponding author: seyedmostafa.b@gmail.com)

2- Associate Professor of Water Resources, University of Tabriz

3- Associate Professor of Watershed, Sari of Agricultural Sciences and Natural Resources University

Received: October 18, 2016

Accepted: May 3, 2017

### **Abstract**

This research uses the multilayer perceptron (MLP) model to predict daily evaporation at two synoptic stations located in Rasht and Manjil, Guilan province, in north-west of Iran. Initially the most important combinations of climatic parameters for both of the stations were identified using the gamma test; and daily evaporation were modeled based on the obtained optimal combination. The results of the artificial neural network- Gamma Test (ANN-GT) model are evaluated using the root mean square errors (RMSE), correlation coefficient and Nash-Sutcliffe (NS) criteria. The results showed that the ANN-GT model for Rasht station with a correlation coefficient 0.86, root mean square error 0.95 and Nash-Sutcliffe criteria 0.74 and for Manjil station with correlation coefficient 0.94, root mean square error 1.58 and Nash-Sutcliffe criteria 0.89 has an acceptable performance in predicting daily evaporation. To evaluate the uncertainty, we considered a percentage of data which were included in 95 percent of uncertainty (p-factor) and the average width of the 95ppu band (d-factor). Regarding the uncertainty results, the average width of 95PPU bound were obtained as 0.33 and 0.3 for the Manjil and Rasht stations, respectively. This shows the low uncertainty level of the ANN-GT model for predicting daily evaporation at both of the stations. Furthermore, the percentage of the observed data at 95PPU band was low and equal to %25 and %45 for the Rasht and Manjil stations, respectively. The reason for these low values can be due to low uncertainty in the parameters.

**Keywords:** Artificial neural network, Daily evaporation, Gamma test, Guilan, Uncertainty